

# Starkniederschlagshöhen und -spenden gemäß KOSTRA-DWD-2020

## Rasterfeld 155096

(Zeile 155, Spalte 96)

### Regenspende und Bemessungsniederschlagswerte in Abhängigkeit von Wiederkehrzeit T und Dauerstufe D

| Dauerstufe D |     | Wiederkehrzeit T |            |      |            |      |            |       |            |       |            |       |            |       |            |       |            |       |            |
|--------------|-----|------------------|------------|------|------------|------|------------|-------|------------|-------|------------|-------|------------|-------|------------|-------|------------|-------|------------|
|              |     | 1 a              |            | 2 a  |            | 3 a  |            | 5 a   |            | 10 a  |            | 20 a  |            | 30 a  |            | 50 a  |            | 100 a |            |
| min          | Std | mm               | l / (s ha) | mm   | l / (s ha) | mm   | l / (s ha) | mm    | l / (s ha) | mm    | l / (s ha) | mm    | l / (s ha) | mm    | l / (s ha) | mm    | l / (s ha) | mm    | l / (s ha) |
| 5            |     | 6,5              | 216,7      | 8,0  | 266,7      | 8,9  | 296,7      | 10,1  | 336,7      | 11,8  | 393,3      | 13,5  | 450,0      | 14,7  | 490,0      | 16,2  | 540,0      | 18,3  | 610,0      |
| 10           |     | 8,4              | 140,0      | 10,3 | 171,7      | 11,5 | 191,7      | 13,0  | 216,7      | 15,2  | 253,3      | 17,5  | 291,7      | 19,0  | 316,7      | 20,9  | 348,3      | 23,7  | 395,0      |
| 15           |     | 9,7              | 107,8      | 11,8 | 131,1      | 13,2 | 146,7      | 14,9  | 165,6      | 17,5  | 194,4      | 20,1  | 223,3      | 21,8  | 242,2      | 24,0  | 266,7      | 27,2  | 302,2      |
| 20           |     | 10,6             | 88,3       | 13,0 | 108,3      | 14,5 | 120,8      | 16,4  | 136,7      | 19,2  | 160,0      | 22,1  | 184,2      | 23,9  | 199,2      | 26,4  | 220,0      | 29,9  | 249,2      |
| 30           |     | 12,1             | 67,2       | 14,8 | 82,2       | 16,5 | 91,7       | 18,7  | 103,9      | 21,8  | 121,1      | 25,1  | 139,4      | 27,2  | 151,1      | 30,0  | 166,7      | 34,0  | 188,9      |
| 45           |     | 13,7             | 50,7       | 16,8 | 62,2       | 18,7 | 69,3       | 21,2  | 78,5       | 24,8  | 91,9       | 28,5  | 105,6      | 30,9  | 114,4      | 34,1  | 126,3      | 38,6  | 143,0      |
| 60           | 1   | 15,0             | 41,7       | 18,3 | 50,8       | 20,4 | 56,7       | 23,1  | 64,2       | 27,0  | 75,0       | 31,1  | 86,4       | 33,7  | 93,6       | 37,2  | 103,3      | 42,1  | 116,9      |
| 90           | 1,5 | 16,9             | 31,3       | 20,7 | 38,3       | 23,1 | 42,8       | 26,1  | 48,3       | 30,5  | 56,5       | 35,1  | 65,0       | 38,1  | 70,6       | 42,0  | 77,8       | 47,6  | 88,1       |
| 120          | 2   | 18,5             | 25,7       | 22,6 | 31,4       | 25,1 | 34,9       | 28,5  | 39,6       | 33,3  | 46,3       | 38,3  | 53,2       | 41,5  | 57,6       | 45,8  | 63,6       | 51,9  | 72,1       |
| 180          | 3   | 20,8             | 19,3       | 25,5 | 23,6       | 28,3 | 26,2       | 32,1  | 29,7       | 37,6  | 34,8       | 43,2  | 40,0       | 46,9  | 43,4       | 51,7  | 47,9       | 58,6  | 54,3       |
| 240          | 4   | 22,7             | 15,8       | 27,7 | 19,2       | 30,9 | 21,5       | 35,0  | 24,3       | 40,9  | 28,4       | 47,0  | 32,6       | 51,0  | 35,4       | 56,3  | 39,1       | 63,8  | 44,3       |
| 360          | 6   | 25,6             | 11,9       | 31,3 | 14,5       | 34,8 | 16,1       | 39,4  | 18,2       | 46,1  | 21,3       | 53,0  | 24,5       | 57,5  | 26,6       | 63,4  | 29,4       | 71,9  | 33,3       |
| 540          | 9   | 28,8             | 8,9        | 35,2 | 10,9       | 39,2 | 12,1       | 44,4  | 13,7       | 52,0  | 16,0       | 59,7  | 18,4       | 64,8  | 20,0       | 71,5  | 22,1       | 81,0  | 25,0       |
| 720          | 12  | 31,4             | 7,3        | 38,4 | 8,9        | 42,7 | 9,9        | 48,4  | 11,2       | 56,6  | 13,1       | 65,0  | 15,0       | 70,6  | 16,3       | 77,8  | 18,0       | 88,2  | 20,4       |
| 1080         | 18  | 35,3             | 5,4        | 43,2 | 6,7        | 48,1 | 7,4        | 54,5  | 8,4        | 63,7  | 9,8        | 73,3  | 11,3       | 79,5  | 12,3       | 87,7  | 13,5       | 99,4  | 15,3       |
| 1440         | 24  | 38,5             | 4,5        | 47,0 | 5,4        | 52,3 | 6,1        | 59,3  | 6,9        | 69,4  | 8,0        | 79,7  | 9,2        | 86,5  | 10,0       | 95,4  | 11,0       | 108,1 | 12,5       |
| 2880         | 48  | 47,1             | 2,7        | 57,7 | 3,3        | 64,2 | 3,7        | 72,7  | 4,2        | 85,0  | 4,9        | 97,7  | 5,7        | 106,1 | 6,1        | 117,0 | 6,8        | 132,6 | 7,7        |
| 4320         | 72  | 53,1             | 2,0        | 64,9 | 2,5        | 72,3 | 2,8        | 81,9  | 3,2        | 95,8  | 3,7        | 110,1 | 4,2        | 119,5 | 4,6        | 131,7 | 5,1        | 149,3 | 5,8        |
| 5760         | 96  | 57,8             | 1,7        | 70,7 | 2,0        | 78,7 | 2,3        | 89,1  | 2,6        | 104,2 | 3,0        | 119,8 | 3,5        | 130,0 | 3,8        | 143,4 | 4,1        | 162,5 | 4,7        |
| 7200         | 120 | 61,7             | 1,4        | 75,5 | 1,7        | 84,0 | 1,9        | 95,2  | 2,2        | 111,3 | 2,6        | 127,9 | 3,0        | 138,8 | 3,2        | 153,1 | 3,5        | 173,5 | 4,0        |
| 8640         | 144 | 65,1             | 1,3        | 79,6 | 1,5        | 88,6 | 1,7        | 100,4 | 1,9        | 117,4 | 2,3        | 134,9 | 2,6        | 146,4 | 2,8        | 161,5 | 3,1        | 183,0 | 3,5        |
| 10080        | 168 | 68,1             | 1,1        | 83,3 | 1,4        | 92,7 | 1,5        | 105,0 | 1,7        | 122,8 | 2,0        | 141,2 | 2,3        | 153,2 | 2,5        | 169,0 | 2,8        | 191,5 | 3,2        |

# Starkniederschlagshöhen und -spenden gemäß KOSTRA-DWD-2020

## Rasterfeld 155096

(Zeile 155, Spalte 96)

### Örtliche Unsicherheiten in Abhängigkeit von Wiederkehrzeit T und Dauerstufe D

| Dauerstufe D |     | Wiederkehrzeit T |     |     |     |      |      |      |      |       |
|--------------|-----|------------------|-----|-----|-----|------|------|------|------|-------|
|              |     | 1 a              | 2 a | 3 a | 5 a | 10 a | 20 a | 30 a | 50 a | 100 a |
| min          | Std | ± %              | ± % | ± % | ± % | ± %  | ± %  | ± %  | ± %  | ± %   |
| 5            |     | 12               | 12  | 13  | 14  | 15   | 15   | 16   | 16   | 17    |
| 10           |     | 15               | 16  | 17  | 18  | 19   | 20   | 20   | 21   | 21    |
| 15           |     | 16               | 18  | 19  | 20  | 21   | 22   | 23   | 23   | 24    |
| 20           |     | 17               | 19  | 20  | 21  | 22   | 23   | 24   | 24   | 25    |
| 30           |     | 18               | 20  | 21  | 22  | 23   | 24   | 24   | 25   | 26    |
| 45           |     | 18               | 20  | 21  | 22  | 23   | 24   | 24   | 25   | 26    |
| 60           | 1   | 17               | 19  | 20  | 22  | 23   | 24   | 24   | 25   | 25    |
| 90           | 1,5 | 16               | 19  | 19  | 21  | 22   | 23   | 23   | 24   | 24    |
| 120          | 2   | 16               | 18  | 19  | 20  | 21   | 22   | 23   | 23   | 24    |
| 180          | 3   | 14               | 16  | 17  | 19  | 20   | 21   | 21   | 22   | 22    |
| 240          | 4   | 13               | 16  | 17  | 18  | 19   | 20   | 20   | 21   | 21    |
| 360          | 6   | 12               | 14  | 15  | 16  | 17   | 18   | 19   | 19   | 20    |
| 540          | 9   | 11               | 13  | 14  | 15  | 16   | 17   | 17   | 18   | 18    |
| 720          | 12  | 11               | 12  | 13  | 14  | 15   | 16   | 16   | 17   | 18    |
| 1080         | 18  | 10               | 11  | 12  | 13  | 14   | 15   | 15   | 16   | 16    |
| 1440         | 24  | 10               | 11  | 12  | 12  | 13   | 14   | 15   | 15   | 16    |
| 2880         | 48  | 10               | 11  | 11  | 12  | 12   | 13   | 13   | 14   | 14    |
| 4320         | 72  | 12               | 11  | 12  | 12  | 12   | 13   | 13   | 13   | 14    |
| 5760         | 96  | 13               | 12  | 12  | 12  | 12   | 13   | 13   | 13   | 14    |
| 7200         | 120 | 13               | 13  | 13  | 13  | 13   | 13   | 13   | 13   | 14    |
| 8640         | 144 | 14               | 13  | 13  | 13  | 13   | 13   | 13   | 14   | 14    |
| 10080        | 168 | 15               | 14  | 14  | 13  | 13   | 14   | 14   | 14   | 14    |

### Parameter für abweichende T und D

#### Lokationsparameter $\xi$ (Xi)

15,14698511

#### Skalenparameter $\alpha$ (Alpha)

4,69462143

#### Formparameter $\kappa$ (Kappa)

-0,1

#### 1. Koutsoyiannis-Parameter $\theta$ (Theta)

0,01434311

#### 2. Koutsoyiannis-Parameter $\eta$ (Eta)

0,70648605

Parameter für dauerstufenübergreifende Extremwertschätzung nach KOUTSOYIANNIS et al. 1998.

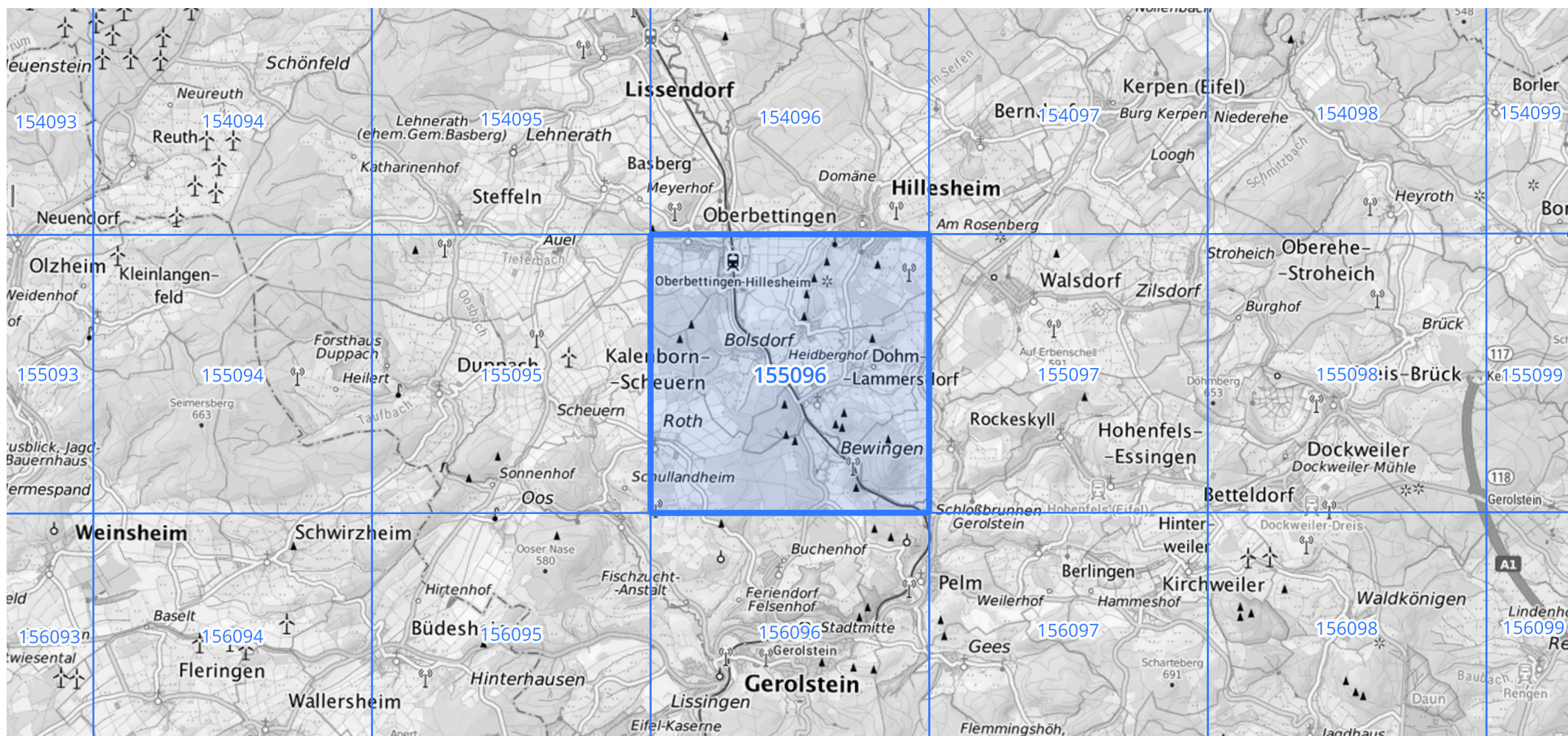
Siehe auch Anwendungshilfe zu KOSTRA-DWD-2020 des Deutschen Wetterdienstes.

# Starkniederschlagshöhen und -spenden gemäß KOSTRA-DWD-2020

## Rasterfeld 155096

(Zeile 155, Spalte 96)

Übersichtskarte des Rasterfeldes 155096, M 1 : 100 000



Quelle Rasterdaten: KOSTRA-DWD-2020 des Deutschen Wetterdienstes, Stand 12/2022.

Seite 3 von 3

Kartendarstellung: © Bundesamt für Kartographie und Geodäsie (2023), Datenquellen: [https://sgx.geodatenzentrum.de/web\\_public/gdz/datenquellen/Datenquellen\\_TopPlusOpen.html](https://sgx.geodatenzentrum.de/web_public/gdz/datenquellen/Datenquellen_TopPlusOpen.html)

Für die Richtigkeit und Aktualität der Angaben wird keine Gewähr übernommen. Erstellt 01/2023.